

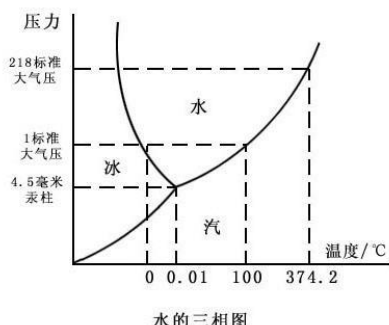
浅谈相图在力学问题中的应用

李远航
PB20000137

在学习力学学习的过程中，我们难免遇到一些复杂，需要分类讨论的题目，如果强行分类讨论的话，结果往往会不直观，而相图的引入，无疑会让这些问题更加的直观。

不过，为了更好的讨论相图在力学问题中的引用，我们应该先谈谈什么是相图。

最原始的相图，是在热学中的，被定义为：相图是指采用的热力学变量不同构成不同的相图。

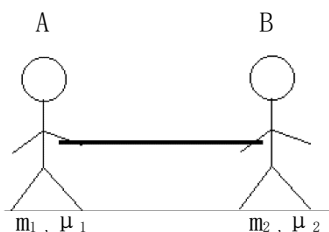


上图所示，即为水的三相图，从图中，我们可以直观的看出在不同的情况下，水所处的状态，这无疑比给我们一些数据要直观的多。

既然相图可以让水的物态变化更加直观，那我们能否将其应用于力学中，答案是可以的。

我们可以先看下面的这道题：

水平地面上有两个人 A 和 B，他们相向而立，A 的质量为 m_1 ，与地面的动摩擦因数为 μ_1 ，B 的质量为 m_2 ，与地面的动摩擦因数为 μ_2 ，两人使出全力拔河，假设在拔河的过程中，他们的手无法与绳脱离，最大静摩擦力等于滑动摩擦力，试问在什么情况下 A 滑动，在什么情况下，B 滑动？

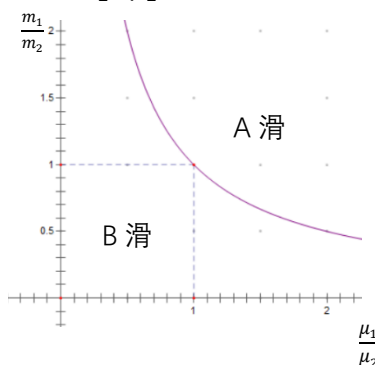


解答这道题并没有什么难度，但是我们

可以将其用相图表示出来：

$$\mu_1 \cdot m_1 \cdot g = \mu_2 \cdot m_2 \cdot g$$

$$\frac{m_1}{m_2} \cdot \frac{\mu_1}{\mu_2} = 1$$

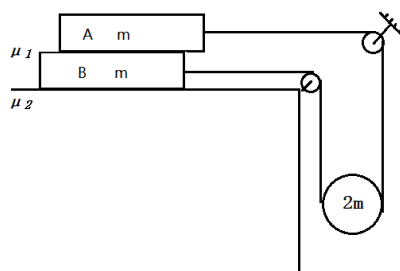


图中的函数图像将坐标轴分成了两个区域，从图中我们可以轻松看出在不同的情况下 A,B 所处的状态，而在函数图像上即为临界状态。

上图中函数图像就可以看成水的物态变化曲线，不同的情况就对应水的不同状态，以此一一对应，就将力学问题与相图联系了起来，从而使问题的变得简单易理解。

现在我们已经了解了什么是相图，也学会了如何将相图与力学问题联系起来，下面我们可以解决以下的问题，来体会相图对我们的帮助：

如图所示，两个物体通过两个定滑轮，一个动滑轮相连，A 在上，B 在下，A,B 的质量均为 m ，动滑轮的质量为 $2m$ ，A 与 B 之间的动摩擦因数为 μ_1 ，B 与桌面之间的动摩擦因数为 μ_2 ，假设最大静摩擦力等于滑动摩擦力，忽略滑轮与轮轴之间的摩擦，试讨论物体的运动情况？



(1)A 滑

$$\mu_1 > 1 \quad \text{滑}$$

$$\mu_1 < 1 \quad \text{不滑}$$

(2)B 滑

$$\mu_1 > 1$$

$$f = m \cdot g$$

$$\mu_2 > 1 \quad \text{滑}$$

$$\mu_2 < 1 \quad \text{不滑}$$

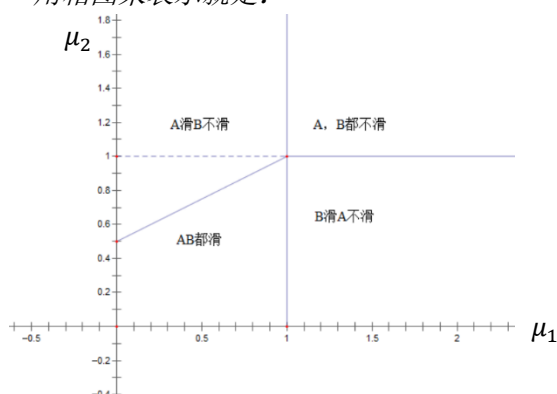
$$\mu_1 < 1$$

$$f = \mu_1 \cdot m \cdot g$$

$$2\mu_2 > 1 + \mu_1 \quad \text{不滑}$$

$$2\mu_2 < 1 + \mu_1 \quad \text{滑}$$

用相图来表示就是:



相图将坐标分成了四个区域, 不同区域对应着不同的运动情况, 从图形上表现出来, 远比用几条不等关系表示更加的清晰。

上面讨论的都是相图在静力学中的引用, 但相图的作用并不局限于此, 下面我们来讨论相图和能量的联系:

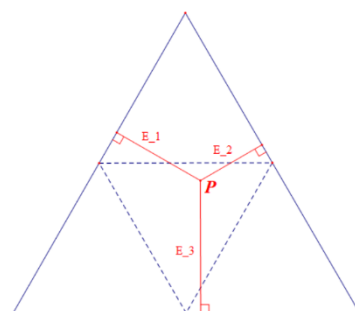
一个质量为 m 的物体在地面上炸开成三片, 都以光速 c 飞出, 它们的能量依次为 E_1, E_2, E_3 , 求 E_1, E_2, E_3 应该满足的关系?

$$\begin{cases} \text{能量守恒: } E_1 + E_2 + E_3 = E \\ \text{动量守恒: } \vec{P}_1 + \vec{P}_2 + \vec{P}_3 = \vec{0} \end{cases}$$

$$\text{又因为 } E = P \cdot c$$

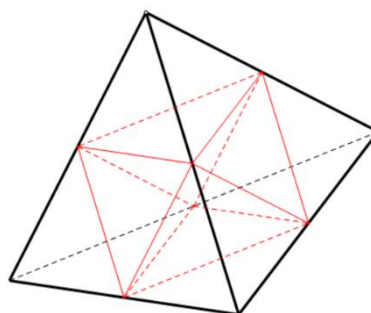
$$\text{则 } \begin{cases} E_1 + E_2 \geq E_3 > 0 \\ E_2 + E_3 \geq E_1 > 0 \\ E_1 + E_3 \geq E_2 > 0 \end{cases}$$

由能量守恒的等式, 我们可以联想到等边三角形, 这样上述的表达式就可以在坐标系中表示为:



通过相图, 我们可以轻松得到能量所满足的条件, 而当 P 点在虚线所示的三角形内移动时, 同时满足能量守恒和动量守恒, 即为题目所求的条件。

同时如果我们将题目推广到炸裂成四个碎片, 那么相图就变成了一个三维的正四面体, 满足题设条件的 P 点应该位于正四面体中的八面体内, 如图所示:



当然, 相图一样可以运用在动力学中, 我们可以对一个简谐运动进行讨论。

设一个物体的运动满足下面的形式:

$$x = A \cdot \cos(w \cdot t + \varphi)$$

则该物体的速度:

$$v = \frac{dx}{dt}$$

$$v = -A \cdot w \cdot \sin(w \cdot t + \varphi)$$

这时候我们不难发现:

$$\begin{cases} x = A \cdot \cos(w \cdot t + \varphi) \\ -\frac{v}{w} = A \cdot \sin(w \cdot t + \varphi) \end{cases}$$

由三角恒等式:

$$\sin^2 x + \cos^2 x = 1$$

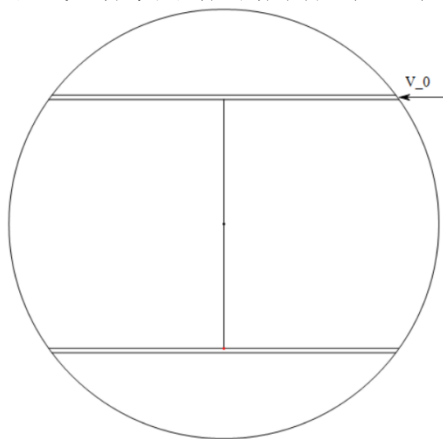
我们可以得到:

$$x^2 + \left(-\frac{v}{w}\right)^2 = 1$$

在坐标轴上表示就是一个圆, 至此, 我们就将简谐振动运动过程中的速度与位移联系了起来。

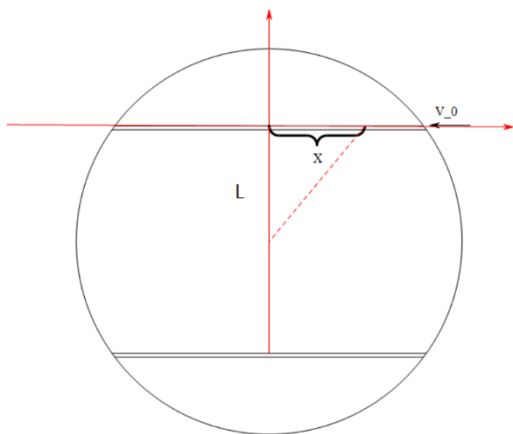
为了更加便于理解简谐振动与动力学相图的关系，我们可以看下面这道题目：

在一个质量 M ，半径 R 的球体上，在一个直径面内对称地挖两条距球心 L 的光滑的平行隧道，将一个质量 m 的小球从 A 点以初速度 V_0 沿隧道释放，若要使得小球能够周期性回到 A 点，求 $V_0 - L$ 关系曲线并作图，并求曲线上各个点对应的周期 $T(V_0, L)$



这里我们主要是讨论相图在简谐振动中的应用，所以这里我们只求物体以 V_0 在球中运动的场景。

建立如图所示的坐标系：



则物体受到的力：

$$F = -\frac{GMm}{x^2 + L^2} \left(\frac{\sqrt{x^2 + L^2}}{R} \right)^3 \cdot \frac{x}{\sqrt{x^2 + L^2}}$$

化简得：

$$F = -\frac{GMm}{R^3} \cdot x$$

则物体的运动方程：

$$m\ddot{x} = -\frac{GMm}{R^3} x$$

为了简便计算，记

$$\omega^2 = \frac{GM}{R^3}$$

则物体的运动方程：

$$\ddot{x} + \omega^2 x = 0$$

则有

$$\begin{cases} x = A \cdot \cos(\omega \cdot t + \varphi) \\ v = -A \cdot \omega \cdot \sin(\omega \cdot t + \varphi) \end{cases}$$

代入初始条件 $t = 0$ 时：

$$\begin{cases} x = \sqrt{R^2 - L^2} \\ v = -v_0 \end{cases}$$

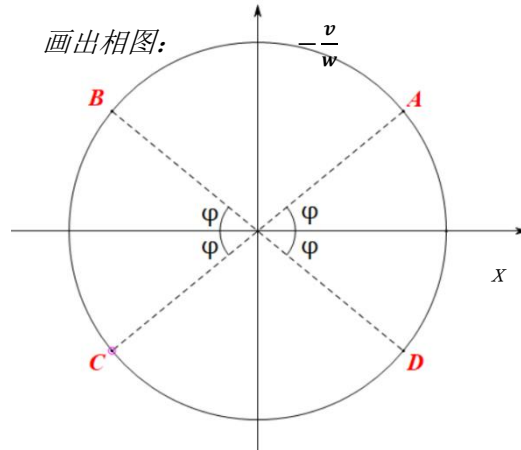
可以得到：

$$\tan \varphi = \frac{v_0}{\omega \sqrt{R^2 - L^2}}$$

利用

$$x^2 + \left(-\frac{v}{\omega} \right)^2 = 1$$

画出相图：



在相图上物体在球内的运动即为从 A 点到 B 点，再从 C 点到 D 点的过程

我们知道经过一个周期，运动的时间为：

$$T = \frac{2\pi}{\omega}$$

则在该运动中物体的时间：

$$t = T \cdot \frac{2\pi - 4\varphi}{2\pi}$$

代入相关的数据可以得到物体在球中运动的总时间为：

$$t = \left[2\pi - 4 \arctan \left(v_0 \sqrt{\frac{R^3}{GM \cdot (R^2 - L^2)}} \right) \right] \cdot \sqrt{\frac{R^3}{GM}}$$

除此之外，利用这种方法还可以解决 35 届中生物理竞赛复赛的第二题，在这里就不再叙述了。

相图在力学之中的应用远远不局限于此，但我认为掌握了上述的几点之后，力学中剩下的有关相图的题目也就可以同样的解决了。

[参考文献]

1. 百度百科：相图
<https://baike.baidu.com/item/%E7%9B%B8%E5%9B%BE/6308464?fr=aladdin>
2. 引用图片：
 - a)
https://tieba.baidu.com/p/4817436753?red_tag=2578252871
 - b)
几何画板